

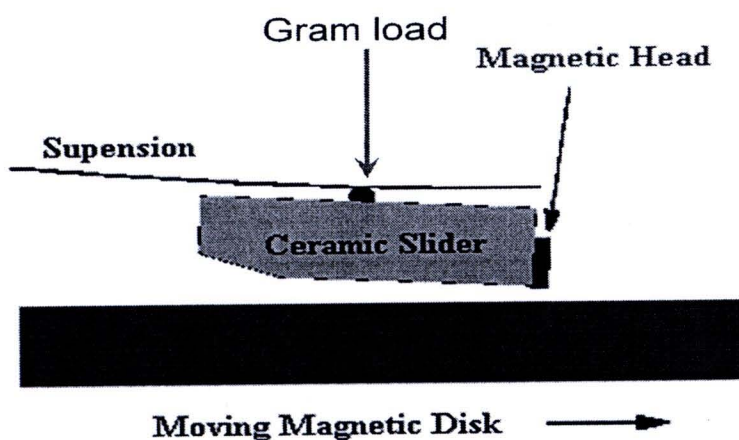
บทที่ 4

วิธีการดำเนินการวิจัย

งานวิจัยนี้ทำการศึกษาด้วยแพร่ที่ส่งผลกระทบต่อเสียงรูปของแบบแอกทูเอเตอร์ในกระบวนการคีสวเจ 2 ประการคือ แรงที่กดในมีด และมุมใบมีดของอุปกรณ์ดีสเวจ โดยการวิเคราะห์การเสียงรูปของแบบแอกทูเอเตอร์จะพิจารณาถึงค่าแรงกรัม荷ลอดที่เกิดขึ้นหลังจากผ่านกระบวนการคีสวเจ ด้วยระบบบีบบีไฟในต่อเลิมอนต์

4.1 การวัดค่าแรงกรัม荷ลอด

แรงกรัม荷ลอด เป็นแรงที่เกิดจากค่าคงที่ของสปริง โดยทั่วไปแรงกรัม荷ลอดจะถูกกำหนดให้เป็นแรงที่ชุดรองรับหัวอ่าน/เขียนถูกกระทำ ซึ่งแรงกรัม荷ลอดจะลดที่หัวอ่าน/เขียน เพื่อให้หัวอ่าน/เขียนเกิดความสมดุลในขณะทำงาน ดังแสดงในภาพที่ 4.1 คล้ายกับสปริงตามกฎของฮูค (Hooke's Law) กำหนดให้สปริงเป็นวัตถุยืดหยุ่น (Elastic Member) มีแรงต้านเมื่อมีการเปลี่ยนรูปของวัตถุ ซึ่งการเปลี่ยนรูปนี้จะถูกแสดงในรูปของระบบการขัด



ภาพที่ 4.1 แสดงแรงกรัม荷ลอด

4.1.1 การวัดค่าแรงกรัม荷ลอดในกระบวนการจริง

ในการวัดค่าแรงกรัม荷ลอดในกระบวนการจริงจะมีเครื่องมือในการวัดโดยมีหลักการทำงานคือ ที่เครื่องมือจะมีเซนเซอร์ (sensor) ซึ่งทำหน้าที่ในการวัดแรงกรัม荷ลอด ใน

การวัดค่าเท่งเซนเซอร์จะถูกสอดเข้าไประหว่างชั้สน彭ชั้นสองตัว ดังภาพที่ 4.2 โดยแรงที่กดหรือดันไปที่เท่งเซนเซอร์ คือ แรงรัมໂโหลด



ภาพที่ 4.2 การวัดค่าแรงรัมໂโหลดในกระบวนการจริง

4.1.2 การวัดค่ากรัมໂโหลดในการทดลอง

ในการวัดค่ากรัมໂโหลดในการทดลองจะหาได้จากการอ่านค่าการระจัดในแนวแกน Z ของแขนแอกทูเอเตอร์จากผลการทดลอง ซึ่งคือค่าของตัวแปร A และ B ดังภาพที่ 4.3 และความสัมพันธ์ของค่าการกระจัดของปลายหัวอ่าน/เขียน X เขียนให้อยู่ในรูปสมการได้ดังนี้

$$X = B + D \left(\frac{B-A}{C} \right) \quad (4.1)$$

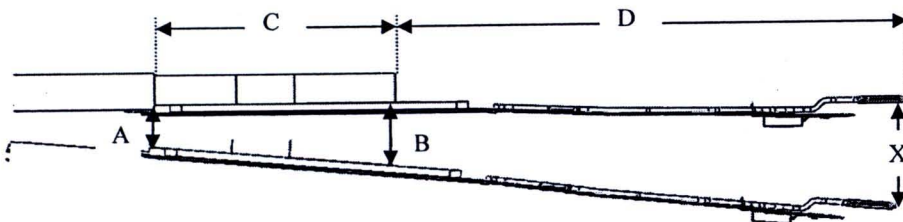
เมื่อ C คือ ระยะจากปลายของแขนแอกทูเอเตอร์ส่วนที่เป็นเส้นตรงถึงขอบโถ้งของแขนแอกทูเอเตอร์ซึ่งเป็นค่าคงที่

D คือ ระยะจากขอบโถ้งของแขนแอกทูเอเตอร์ถึงปลายหัวอ่าน/เขียนซึ่งเป็นค่าคงที่ ดังภาพที่ 4.3

ค่าแรงรัมໂโหลดสามารถเขียนให้อยู่ในรูปสมการได้ดังนี้

$$\text{Gram load} = kX \quad (4.2)$$

เมื่อ k คือค่าคงที่ของแขนแอกทูเอเตอร์



ภาพที่ 4.3 การวัดค่าแรงรัมໂโหลดในการทดลอง

4.2 การออกแบบการทดลอง

เพื่อให้ได้ผลการทดลองที่แม่นยำ แรงที่ก่อในมีด และมุมใบมีดของอุปกรณ์ดีสเวจที่เหมาะสม ในกระบวนการคีสเวจ จะแบ่งการทดลองออกเป็น 5 การทดลอง ดังนี้

การทดลองที่ 1 เพื่อยืนยันความถูกต้องแม่นยำของผลการทดลอง และเพื่อการประหัดทรัพยากรด้านคอมพิวเตอร์ของกระบวนการสเวจ จะต้องมีการใช้ขนาดของอลิเมนต์ทางานาดมาเปรียบเทียบผลการทดลองกับผลการทดลองจริง โดยพิจารณาที่ค่าแรงกรัมโคลด โดยขนาดอลิเมนต์ของแขนแอกทูเอเตอร์ และแผ่นฐานที่ใช้ 5 ชุด ดังตารางที่ 4.1 ด้วยขนาดของความเร็วของลูกบลล 40 m/s และสัมประสิทธิ์แรงเสียดทาน (μ) ระหว่าง ลูกบลลกับ แผ่นฐานคือ 0.08 และขนาดของอลิเมนต์ที่เหมาะสม

ตารางที่ 4.1 แสดงขนาดของอลิเมนต์ของแขนแอกทูเอเตอร์และแผ่นฐาน

	ขนาดของอลิเมนต์		จำนวนอลิเมนต์	จำนวนจุดต่อ (Node)
	แขนแอกทูเอเตอร์	แผ่นฐาน		
ชุดที่ 1	0.75	0.375	32,305	41,020
ชุดที่ 2	0.5	0.25	45,475	57,296
ชุดที่ 3	0.375	0.1875	60,886	77,212
ชุดที่ 4	0.3	0.15	77,721	99,124
ชุดที่ 5	0.25	0.125	95,156	119,708

การทดลองที่ 2 เพื่อยืนยันความถูกต้องแม่นยำของผลการทดลอง และเพื่อการประหัดทรัพยากรด้านคอมพิวเตอร์ของกระบวนการคีสเวจ นำผลจากการทดลอง ที่ 1 มาทดลองกระบวนการคีสเวจต่อ โดยใช้ขนาดอลิเมนต์ใหม่อนการทดลอง ที่ 1 ด้วยขนาดของแรงกดที่ใบมีด 5 นิวตัน และมุมของใบมีด 140.43 องศา เมื่อนการทำงานจริง และทางานาดของอลิเมนต์ที่เหมาะสม

การทดลองที่ 3 เพื่อทางานาดของแรงกดที่ใบมีดของอุปกรณ์ดีสเวจที่ทำให้เกิดการเสียรูปของแขนแอกทูเอเตอร์น้อย โดยขึ้นตอนแรกทำการทดลองกระบวนการสเวจด้วยขนาดของความเร็วของลูกบลล 40 m/s สัมประสิทธิ์แรงเสียดทาน (μ) ระหว่าง ลูกบลลกับ แผ่นฐานคือ 0.08

และใช้ขนาดของเอลิเมนต์จากการทดลองที่ 1 และ 2 แล้วทำการทดลองกระบวนการคีสเวจต่อโดยใช้ผลจากกระบวนการสเวจในตอนแรก โดยมุนของใบมีด 140.43 องศาเหมือนงานจริง และใช้แรงกดที่ใบมีดของอุปกรณ์คีสเวจ 5 ขนาด คือ 3 N, 5 N, 7 N, 9 N และ 11 N และหาค่าแรงกรัมໂหลดที่มีค่าน้อยที่สุดที่อยู่ในช่วง 2.1 ถึง 2.9 กรัม ซึ่งเป็นช่วงค่าแรงกรัมໂหลดที่ยอมรับได้ในการทำงานจริง

การทดลองที่ 4 เพื่อหาขนาดมุนใบมีดของอุปกรณ์คีสเวจที่ทำให้เกิดการเสียรูปของแขน แอคทูเอเตอร์น้อย โดยขั้นตอนแรกทำการทดลองกระบวนการสเวจด้วยขนาดของความเร็วของลูกบล็อก 40 m/s สัมประสิทธิ์แรงเสียดทาน (μ) ระหว่าง ลูกบล็อกกับ แผ่นฐานคือ 0.08 และใช้ขนาดของเอลิเมนต์จากการทดลองที่ 1 และ 2 แล้วทำการทดสอบกระบวนการคีสเวจต่อโดยใช้ผลจากกระบวนการสเวจในตอนแรก ด้วยแรงกดใบมีด 5 N เหมือนงานจริง และใช้ขนาดของมุนใบมีดของอุปกรณ์คีสเวจ 5 ขนาด คือ 136.43, 138.43, 140.43, 142.43 และ 144.3 องศา และหาค่าแรงกรัมໂหลดที่มีค่าน้อยที่สุดที่อยู่ในช่วง 2.1 ถึง 2.9 กรัม ซึ่งเป็นช่วงค่าแรงกรัมໂหลดที่ยอมรับได้ในการทำงานจริง

การทดลองที่ 5 เพื่อหาขนาดของแรงกดที่ใบมีด และขนาดมุนใบมีดของอุปกรณ์คีสเวจที่ทำให้เกิดการเสียรูปของแขนแอคทูเอเตอร์น้อย โดยขั้นตอนแรกทำการทดลองกระบวนการสเวจ ด้วยขนาดของความเร็วของลูกบล็อก 40 m/s สัมประสิทธิ์แรงเสียดทาน (μ) ระหว่าง ลูกบล็อกกับ แผ่นฐานคือ 0.08 และใช้ขนาดของเอลิเมนต์จากการทดลองที่ 1 และ 2 แล้วทำการทดลองกระบวนการคีสเวจต่อโดยใช้ผลจากกระบวนการสเวจในตอนแรก โดยใช้แรงกดที่ใบมีดของอุปกรณ์คีสเวจ 5 ขนาด คือ 3 N, 5 N, 7 N, 9 N และ 11 N และใช้ขนาดของมุนใบมีดของอุปกรณ์คีสเวจ 5 ขนาด คือ 136.43, 138.43, 140.43, 142.43 และ 144.3 องศา และหาค่าแรงกรัมໂหลดที่มีค่าน้อยที่สุดที่อยู่ในช่วง 2.1 ถึง 2.9 กรัม ซึ่งเป็นช่วงค่าแรงกรัมໂหลดที่ยอมรับได้ในการทำงานจริง

4.3 ระเบียบวิธีทางไฟไนต์เอลิเมนต์ (Finite element method)

ในการวิเคราะห์กระบวนการสเวจ (HSA Swaging Process) และคีสเวจ (HSA De-Swaging Process) เป็นปัญหาที่มีสมการอนุพันธ์ที่ซับซ้อนทำให้หาผลเฉยแม่นตรง (Exact solution) ทำได้ยากมากหรืออาจหาไม่ได้เลย จากเหตุผลดังกล่าวการศึกษานี้จึงใช้ระเบียบวิธีไฟไนต์เอลิเมนต์ (Finite Element Method) มาประยุกต์ใช้วิเคราะห์ และทำนายพฤติกรรมการเกิดความเห็น และการเสียรูปของแขนแอคทูเอเตอร์ ที่เกิดขึ้นหลังกระบวนการ ซึ่งระเบียบวิธีไฟไนต์เอลิเมนต์ เป็นระเบียบวิธีเชิงตัวเลข (Numerical Method) ชนิดหนึ่งที่ใช้เพื่อหาผลเฉยโดยประมาณ (Approximate

Solution) สำหรับปัญหาเชิงอนุพันธ์เรียงย่ออย่างที่อธิบายความเป็นจริงของปัญหานั้นภายใต้เงื่อนไขของเขตที่แตกต่างกัน โดยรูปทรงของปัญหาอาจมีความซับซ้อน (Complex Geometry) เช่น ไดก์ได้

ขั้นตอนของระเบียบวิธีไฟไนต์элементเริ่มต้นจากการแบ่ง (Discretization) รูปทรงของปัญหาออกเป็นэлемент (Element) อย่างๆ จากนั้นจึงสร้างสมการไฟไนต์элемент (Finite Element Equation) สำหรับแต่ละэлементจากการบันสมการเชิงอนุพันธ์ย่ออย่างที่สอดคล้องกับปัญหานั้น แล้วจึงรวม (Assemble) สมการจากแต่ละэlement นี้เข้าด้วยกันก่อให้เกิดระบบสมการรวม (Set of Simultaneous Equation) ขนาดใหญ่ซึ่งอธิบายสถานะทางไฟฟาร์มของปัญหานั้น จากนั้นจึงประยุกต์เงื่อนไขของเขตที่กำหนดให้ ก่อนแก้ระบบสมการขนาดใหญ่นี้เพื่อหาผลเฉลยโดยประมาณตามจุดต่อ (Node) ต่างๆ ทั่วทั้งโดเมน (Domain) ของปัญหา โดยในงานวิจัยนี้จะใช้โปรแกรมคอมพิวเตอร์สำเร็จรูปมาช่วยในการคำนวณด้วยวิธีไฟไนต์эlement ซึ่งขั้นตอนการวิเคราะห์จะแบ่งเป็น 3 ขั้นตอนหลัก คือ

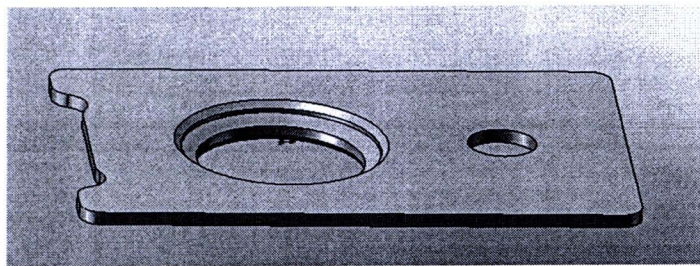
1. ขั้นตอนของการขั้นต้น (Pre-Processor) เป็นการสร้างลักษณะรูปร่างของปัญหาและเงื่อนไขของเขต
2. ขั้นตอนการวิเคราะห์แก้ปัญหา (Analysis) ซึ่งเป็นหัวใจของโปรแกรมที่ใช้ระเบียบวิธีทางไฟไนต์эlement ประมาณผลเพื่อหาคำตอบ
3. ขั้นตอนของการขั้นท้าย (Post-Processor) เป็นการวิเคราะห์และแสดงผลลัพธ์ที่ได้จากการคำนวณ

4.4 ขั้นตอนของการขั้นต้น (Pre-Processor)

4.4.1 การสร้างแบบจำลอง

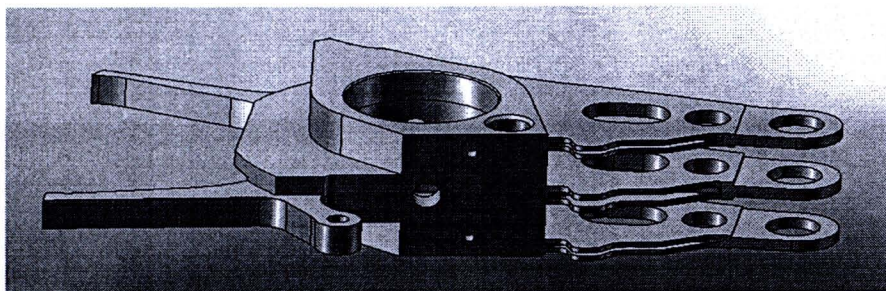
ในขั้นตอนแรกของการวิเคราะห์ คือ การสร้างแบบจำลองจะประกอบด้วยการสร้างแบบจำลองชิ้นส่วนต่างๆ ให้เหมือนกับชิ้นส่วนจริง ทั้งทางกายภาพและการกำหนดสภาพน้ำหน้าให้สอดคล้องกับทางปฏิบัติ โดยชิ้นส่วนต่างๆ ที่จะทำการวิเคราะห์มีดังนี้

4.4.1.1 แผ่นฐาน (Base Plate) ดังภาพที่ 4.4 โดยมีหน้าที่เชื่อมต่อกับชุดรองรับหัวอ่าน/เขียนข้อมูล ส่วนล่างของแผ่นฐาน จะมีลักษณะคล้ายๆ ปлокที่มีขนาดเล็กกว่ารูของแขนแอกทูเอเตอร์เล็กน้อย เพื่อให้ลูกบลัดสามารถเคลื่อนผ่านรูแล้วอัดปлокของแผ่นฐาน ให้เข้าดีดกับผนังรูของแขนแอกทูเอเตอร์



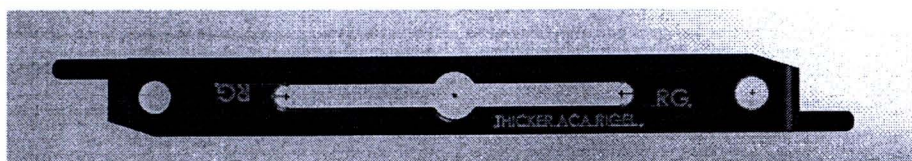
ภาพที่ 4.4 ลักษณะรูป่างของแผ่นฐาน (Base Plate)

4.4.1.2 แขนแอคทูอเตอร์ (Actuator arm) ดังภาพที่ 4.5 จะทำหน้าที่รับหัวอ่าน/เขียน (HGA) โดยจะประยุกต์แน่นกับแผ่นฐาน หลังจากผ่านกระบวนการส่วน แขนแอคทูอเตอร์จะมีความแข็งแรงและความแข็งมากกว่าชิ้นส่วนอื่นๆ เนื่องจากต้องสามารถรับภาระจากน้ำหนักของอุปกรณ์ที่นำมาใช้ติด และต้องรับแรงในการส่วนได้ดีด้วย ซึ่งในปัจจุบันวัสดุของแขนแอคทูอเตอร์



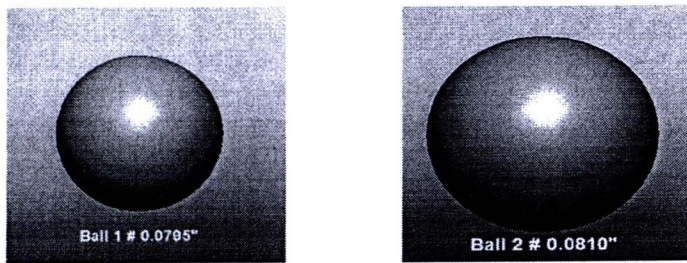
ภาพที่ 4.5 ลักษณะของแขนแอคทูอเตอร์ (Actuator arm)

4.4.1.3 ชิ้นส่วนรองแขนแอคทูอเตอร์ในแต่ละหัวอ่าน (Key) มีหน้าที่ในการรองรับแรงกด และยึดให้แขนแต่ละหัวอ่านให้อยู่กับที่ ในระหว่างกระบวนการส่วน แสดงดังภาพที่ 4.6



ภาพที่ 4.6 ลักษณะชิ้นส่วนรองแขนแอคทูอเตอร์ในแต่ละหัวอ่าน (Key)

4.3.1.4 ลูกบอล ในการกระบวนการส่วน จะใช้ลูกบอล 2 ลูก ที่มีขนาดแตกต่างกัน ไปดังภาพที่ 4.7



ภาพที่ 4.7 ลูกนอล์ที่ใช้ในกระบวนการทดสอบ ทั้ง 2 ลูก

4.4.1.5 ในมีด ในการทดสอบตัวอย่างที่รับแรงกระแทกจากอุปกรณ์ดีสเวจแล้ว กล่องจะระบุว่าแบบไหนและค่าใดที่ได้รับ สำหรับตัวอย่างที่ได้รับแรงกระแทก ให้แยกออก กัน ดังภาพที่ 4.8

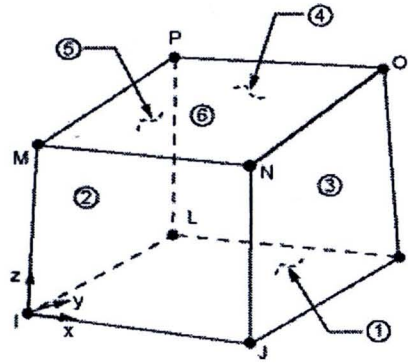


ภาพที่ 4.8 ในมีดของอุปกรณ์ดีสเวจ

4.4.2 การแบ่งอเลิเมนต์

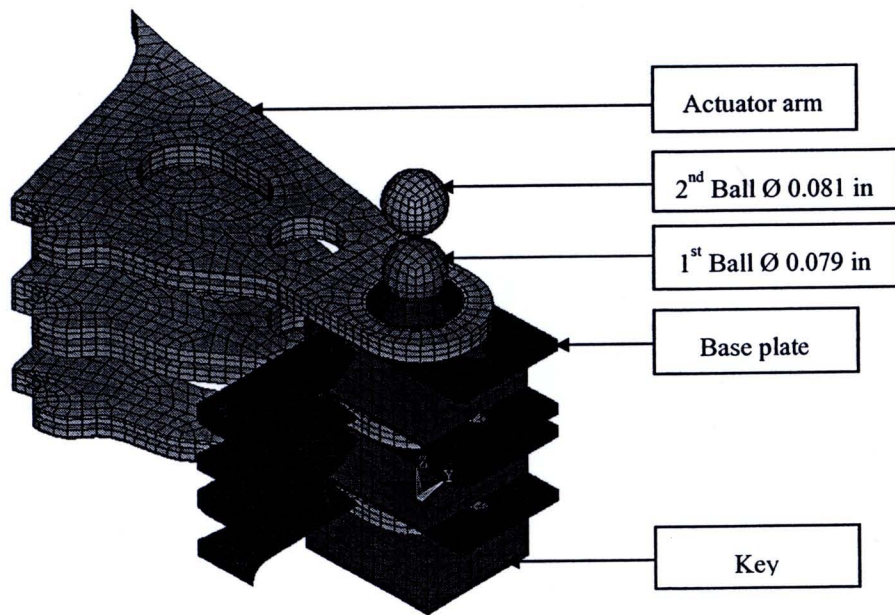
เนื่องจากการวิเคราะห์กระบวนการประมวลผลหัวอ่าน/เขียนสำเร็จ (HSA Swaging Process) เป็นปัญหาเกี่ยวกับการตกกระแทก (Impact), การชนกัน (Crash) จึงใช้การวิเคราะห์ปัญหาแบบ Explicit Dynamic Analysis เพราะมีความสามารถในการคำนวณแม่นยำ ลดเวลาการคำนวณปัญหานานได้หลาย เท่า และสามารถกำหนดพื้นผิวสัมผัส (Contact Surface) ได้สะดวก ซึ่ง การสร้างแบบจำลองทางไฟฟ้าในตัวอเลิเมนต์ ในขั้นตอนแรกในการวิเคราะห์กระบวนการทดสอบ และกระบวนการทดสอบจะเป็นขั้นตอนการสร้างแบบจำลองของชิ้นส่วนต่างๆ ใน 3 มิติ และแบ่งชิ้นส่วนต่างๆออกเป็นอเลิเมนต์ (Element) ย่อยหลายๆอเลิเมนต์โดยชิ้นส่วนแต่ละชิ้น แบบแยกๆ เตอร์ และลูกนอล์ทจะใช้อเลิเมนต์ SOLID 164 แบบอเลิเมนต์ทรงทุกหน้าที่ไม่มีโหนดตรงกลางค้าน เนื่องจากใช้การวิเคราะห์แบบชัดแจ้ง (Explicit Algorithm) ซึ่งจะไม่ยอมให้มีโหนดตรงกลาง ซึ่งมี

โหนดทั้งหมด 8 โหนด มีการเคลื่อนที่ทั้งหมด 9 องศาอิสระ คือ การเคลื่อนที่ในแนวแกน X (UX), Y (UY), Z (UZ) ความเร็วในแนวแกน X (VX), Y (VY), Z (VZ) และความเร่งในแนวแกน X (AX), Y (AY), Z (AZ) ดังแสดงในภาพที่ 4.9



ภาพที่ 4.9 แสดงэлементъแบบ Solid 164 [7]

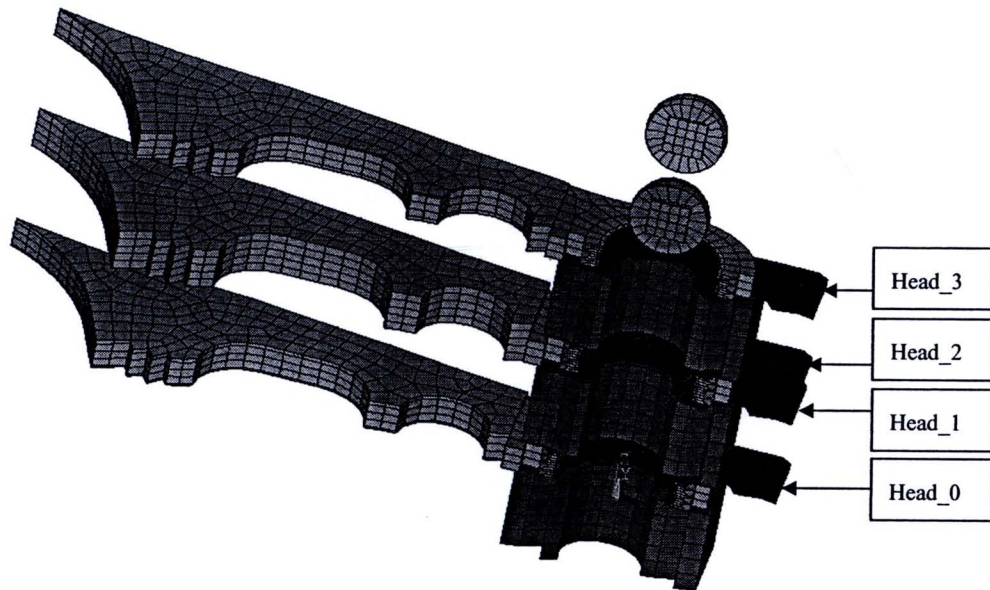
ส่วนในมีดใช้элементъ SHELL 163 แบบэлементъสี่เหลี่ยมและэлементъสามเหลี่ยม เนื่องจากรูปทรงของในมีดมีรูปร่างที่ซับซ้อน และกำหนดให้ลูกบolut และในมีดเป็นวัตถุแข็งเกร็ง (Rigid Body) เนื่องจากลูกบolut และในมีดมีความแข็งแรงมากเมื่อเทียบกับชิ้นส่วนอื่นๆ ส่วนจำนวนэlementъ และจำนวนจุดต่อ (node) แสดงดังตารางที่ 4.1 หลังจากทำการแบ่งэлементъแล้วนำชิ้นส่วนแต่ละชิ้นส่วนมาประกอบกันจะได้ดังภาพที่ 4.10 โดยในชิ้นส่วนของแขนแขนแอกทุอेतอร์ ชิ้นส่วนรองแขนแอกทุอेतอร์ (Key) และในมีดจะถูกตัดออกบางส่วนเพื่อประหยัดเวลา และทรัพยากรน้ำคอมพิวเตอร์ในการวิเคราะห์



ภาพที่ 4.10 แบบจำลอง 3 มิติหลังจากการแบ่งอลิเมนต์

โดยแขนแอคทูอเรอร์ (Actuator arm) จะแบ่งเป็น 3 แขน และมีการประกอบกับแผ่นฐาน ในแต่ละแขนแตกต่างกันไปดังภาพที่ 4.11 ได้แก่

1. แขนบน ชิ้นส่วนของแผ่นฐาน จะประกอบอยู่ด้านล่างของแขนแอคทูอเรอร์
2. แขนกลาง จะมีชิ้นส่วนของแผ่นฐาน ประกอบอยู่ทึ้งด้านบนและด้านล่างของแขนแอคทูอเรอร์
3. แขนล่าง ชิ้นส่วนของแผ่นฐาน จะประกอบอยู่ด้านบนของแขนแอคทูอเรอร์



ภาพที่ 4.11 ลักษณะการประกอบกันระหว่างแอคทูอเอเตอร์กับแผ่นฐานในแต่ละแบบ

4.4.3 การกำหนดเงื่อนไขขอบเขต

การกำหนดเงื่อนไขขอบในการวิเคราะห์ จะกำหนดให้สอดคล้องและใกล้เคียงกับลักษณะของกระบวนการจริงมากที่สุด ซึ่งการกำหนดเงื่อนไขขอบของแต่ละชิ้นส่วนมีรายละเอียดดังนี้

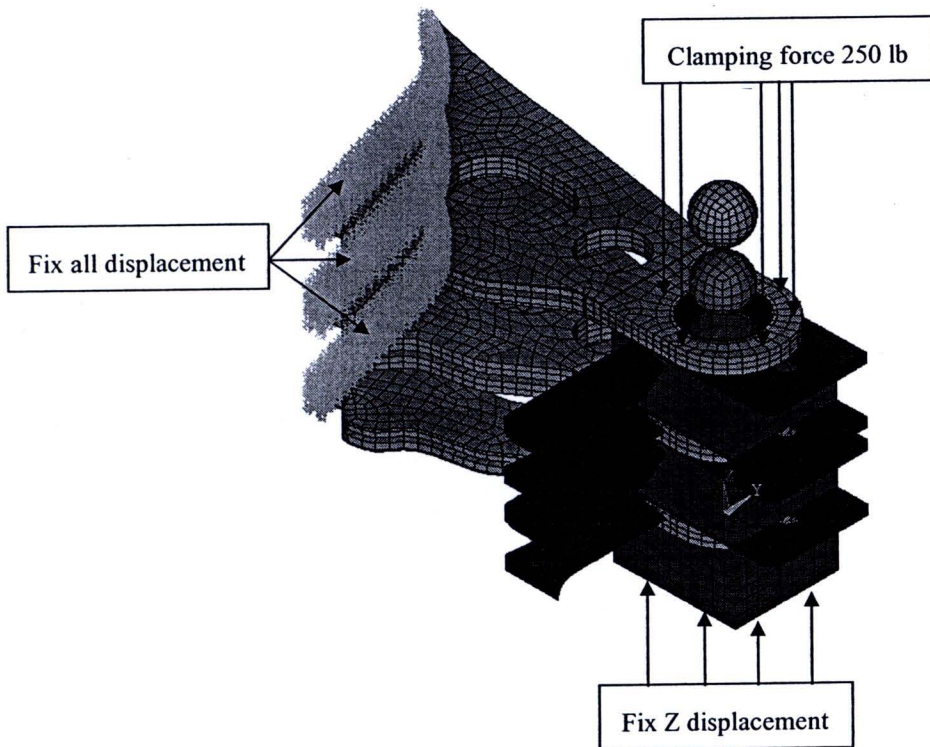
4.4.3.1 การกำหนดเงื่อนไขขอบเขตของกระบวนการสวิง

(1) ลูกบอล กำหนดให้มีความเร็วคงที่ตลอดช่วงเวลาของกระบวนการ ซึ่งในกระบวนการประกอบจริงนั้น จะมีเข็ม (Driving pin) ดันลูกบอลจะเคลื่อนที่ผ่านแผ่นฐาน โดยจะดันด้วยความเร็วคงที่ และลูกบอลจะถูกกำหนดให้เป็นวัตถุแข็งเกร็ง เนื่องจากงานวิจัยนี้ไม่ได้มุ่งเน้นถึงการเสียรูปของลูกบอล

(2) แขนแอคทูอเอเตอร์ เมื่อพิจารณาจากการ จะพบว่าระบบกึ่งกลางตามยาวและระนาบที่ตั้งฉากกับความยาวของแขนแอคทูอเอเตอร์มีการเปลี่ยนแปลงน้อยมาก และจะมีแรงกด (Clamping force) เพื่อไม่ให้มีการเคลื่อนที่ตลอดกระบวนการ ในการวิเคราะห์จึงสามารถดูขนาด ของแบบจำลองแขนแอคทูอเอเตอร์ตรงส่วนต้นแขนออกและกำหนดให้ไม่มีการเคลื่อนในทุกทิศทาง (fix all displacement) ที่บริเวณต้นของแขนแอคทูอเอเตอร์และกำหนดให้ไม่มี

การเคลื่อนที่ในแนวแกน Z (fix Z displacement) บริเวณด้านล่างของแขนแอคทูเอเตอร์ ดังภาพที่ 4.12

(3) แรงจับยึด (Clamping force) บริเวณด้านบนส่วนของปลายแขนแอคทูเอเตอร์จะมีแรงกดแบบกระเจา โดยมีขนาด 250 lb กระจากรอบๆ รูของแผ่นฐาน สำหรับถูกบล็อก ดังภาพที่ 4.12 เพื่อป้องกันการเคลื่อนตัวของชิ้นงาน ในขณะถูกบล็อก



ภาพที่ 4.12 การกำหนดเงื่อนไขข้อมูลของกระบวนการสวิง

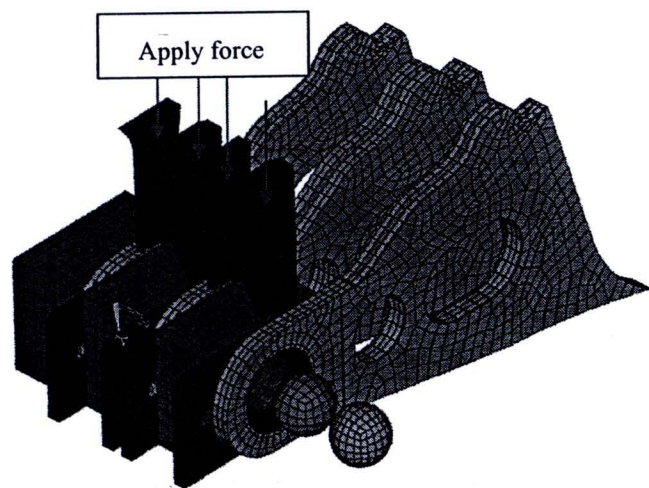
(4) การกำหนดการสัมผัสระหว่างชิ้นงาน ในงานวิจัยนี้กำหนดทุกชิ้นงานที่มีส่วนสัมผัสกัน โดยกำหนดให้เป็นการสัมผัสเป็นแบบ Automatic Surface to Surface Contact เนื่องจากแบบจำลองที่ใช้เคราะห์ที่มีการสัมผัสกันแบบผิวสัมผัสกับผิวสัมผัส และไม่มีการฉีกขาดเสียหายของชิ้นงาน ส่วนการกำหนดผิวสัมผัสที่ใช้ในกระบวนการสวิงมีดังนี้

- ลูกบล็อกกับแผ่นฐาน มีค่าสัมประสิทธิ์ของแรงเสียดทาน 0.08 [28]
- แผ่นฐานกับแขนแอคทูเอเตอร์ มีค่าสัมประสิทธิ์ของแรงเสียดทาน 0.01 [29]

- ชิ้นส่วนรองแขนแอกทูเอเตอร์ในแต่ละหัวอ่านกับแขนแอกทูเอเตอร์ มีค่าสัมประสิทธิ์ของแรงเสียดทาน 0.01 [29]

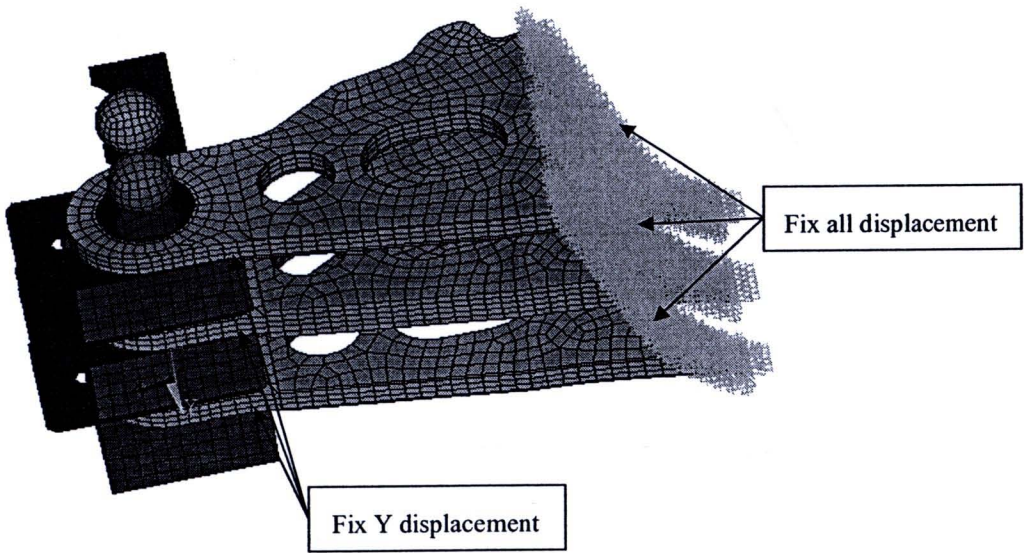
4.4.3.2 การกำหนดเงื่อนไขของเขตของกระบวนการคีสเวจ

(1) ในมีด จะถูกแรงกดลงมาด้วยแรงขนาด 3 N, 5 N, 7 N, 9 N และ 11 N ดังภาพที่ 4.13 โดยแรง 5 N เป็นแรงกดที่ใช้ในการกระบวนการจริง และถูกกำหนดให้เป็นวัตถุแข็งเกร็ง เนื่องจากงานวิจัยนี้ไม่ได้มุ่งเน้นถึงการเสียบูปของใบมีด



ภาพที่ 4.13 การกำหนดแรงกดใบมีดในกระบวนการคีสเวจ

(2) แขนแอกทูเอเตอร์ เมื่อพิจารณาจากกระบวนการ จะพบว่าระบบ กึ่งกลางตามยาวและรานาบที่ตั้งจากกับความยาวของแขนแอกทูเอเตอร์มีการเปลี่ยนแปลงน้อยมาก และจะมีแรงกด (Clamping force) เพื่อไม่ให้มีการเคลื่อนที่ตลอดกระบวนการ ในการวิเคราะห์จึง สามารถลดขนาด ของแบบจำลองแขนแอกทูเอเตอร์ลงส่วนต้นแขนออกและกำหนดให้ไม่มีการเคลื่อนในทุกทิศทาง (fix all displacement) ที่บริเวณขอบของต้นแขนแอกทูเอเตอร์ และกำหนดให้ ไม่มีการเคลื่อนที่ในแนวแกน Y (fix Y displacement) บริเวณด้านข้างของแขนแอกทูเอเตอร์ ดัง ภาพที่ 4.14



ภาพที่ 4.14 การกำหนดเงื่อนไขของเขตของกระบวนการดีสเวจ

(3) การกำหนดการสัมผัสระหว่างชิ้นงาน ในงานวิจัยนี้กำหนดทุกชิ้นงาน

ที่มีส่วนสัมผัสถัน โดยกำหนดให้เป็นการสัมผัสเป็นแบบ Automatic Surface to Surface Contact เนื่องจากการทดลองนี้มีการสัมผัสถันของผิวสัมผัสถันเท่านั้น ซึ่งในแบบจำลองที่ใช้วิเคราะห์มีชิ้นส่วนสัมผัสถัน และค่าสัมประสิทธิ์ของแรงเสียดทานดังนี้

- ในมีดกับแผ่นฐาน มีค่าสัมประสิทธิ์ของแรงเสียดทาน 0.02 [29]
- ในมีดกับแขนแอกทูเอเตอร์ มีค่าสัมประสิทธิ์ของแรงเสียดทาน 0.02 [29]
- แผ่นฐานกับแขนแอกทูเอเตอร์ มีค่าสัมประสิทธิ์ของแรงเสียดทาน 0.01 [29]

4.4.3.3 การกำหนดคุณสมบัติของวัสดุ การกำหนดคุณสมบัติของวัสดุ (Material property) เนื่องจากคุณสมบัติวัสดุของชิ้นส่วนแผ่นฐาน แขนแอกทูเอเตอร์ และชิ้นส่วนรองแขนแอกทูเอเตอร์ ในแต่ละหัวอ่อน (Key) มีคุณสมบัติวัสดุของแผนภาพความเก็บความเครียดเหมือนกับเป็นเส้นตรง สองเส้น ในการทดลองนี้จึงได้คุณสมบัติวัสดุเป็นแบบ Bilinear kinematic hardening ดังแสดงในภาคผนวก ก ซึ่งเป็นคุณสมบัติวัสดุที่เหมาะสมสำหรับการวิเคราะห์แบบ Explicit Dynamic Analysis ด้วย ส่วนลูกบอล และในมีด ได้กำหนดแบบวัสดุแข็งเกร็ง (Rigid bodies to expedite the simulation) เนื่องจากลูกบอล และในมีดมีความแข็งแรงมากเมื่อเทียบกับชิ้นงานอื่น การกำหนดคุณสมบัติโครงสร้างของวัสดุแต่ละชิ้นส่วนแสดงดังตารางที่ 4.2

ตารางที่ 4.2 แสดงการกำหนดค่าวัสดุและคุณสมบัติของแต่ละชิ้นส่วน [30,31]

ชิ้นส่วน	วัสดุ	Modulus of Elasticity (GPa)	Ultimate Tensile Strength (MPa)	Tensile Yield Strength (MPa)	Density (g/cm ³)	Poisson's Ratio
Ball	SST440C	212	1500*	1000*	8.03	0.30
Base Plate	UNS S30500	212	550	205	8.03	0.30
Key	UNS S30500	212	550	205	8.03	0.30
Arm	Aluminum 6061-T6	69	310	275	2.70	0.33
Blade	SKD 11	207	20256*	2070*	7.7	0.285

* กำหนดให้ลูกบอลและใบมีดเป็นวัสดุแข็งเกร็ง

4.5 ขั้นตอนการวิเคราะห์แก้ปัญหา (Analysis)

ขั้นตอนนี้จัดเป็นหัวใจของการใช้โปรแกรมคอมพิวเตอร์สำเร็จรูปมาช่วยในการคำนวณวิธีทางไฟไนต์อเลิมินต์ทั่วไป เป็นขั้นตอนการคำนวณซึ่งเกิดจากการประดิษฐ์สมการไฟไนต์อเลิมินต์ที่ค่อนข้างซับซ้อน อันเป็นผลมาจากการประยุกต์ระเบียบวิธีถ่วงน้ำหนักเศษตกค้าง (Method of Weighted Residuals) เข้ากับระบบสมการเชิงอนุพันธ์ย่ออย่างร่วมกับการกำหนดชนิดของอเลิมินต์ และฟังก์ชันการประมาณภายในอเลิมินต์ (Element Interpolation Functions) นั้น กระบวนการดังกล่าวประกอบด้วย การอินทิเกรตเชิงตัวเลข (Numerical Integration) ก่อให้เกิดสมการไฟไนต์อเลิมินต์สำหรับแต่ละอเลิมินต์ สมการไฟไนต์อเลิมินต์เหล่านี้จะประกอบรวมกันเข้าเป็นระบบสมการขนาดใหญ่ จากนั้นจึงประยุกต์เงื่อนไขของเขตสำหรับปัญหานั้น แล้วแก้ระบบสมการขนาดใหญ่ที่ได้ในส่วนของอเลิมินต์โดยใช้วิธีการประมวลผลโดยวิธีชั้ดแจ้ง ซึ่งคำนวณในลักษณะของฟังก์ชันขึ้นกับเวลาเพื่อให้วัสดุมีการเปลี่ยนรูปแบบตาม การคำนวณเป็นการคิดสมดุลพลวัตที่เวลาต่างๆ ซึ่งสามารถเขียนเป็นสมการได้ดังนี้

$$\sum F = ma \quad (4.3)$$

การคำนวณหาความเร่งของมวลในแต่ละอเลิเมนต์ที่เวลาต่างๆ จะใช้วิธี Central difference ดังแสดงในสมการต่อไปนี้

$$\{a_t\} = [M]^{-1} ([F_t^{\text{ext}}] - [F_t^{\text{int}}]) \quad (4.4)$$

เมื่อ $[M]^{-1}$ คือเมตริกซ์ของมวล, $[F_t^{\text{ext}}]$ คือเวกเตอร์ของการที่มีกระทำ และ $[F_t^{\text{int}}]$ คือเวกเตอร์ของแรงภายใน

ความเร็วและการเคลื่อนที่สามารถคำนวณได้จากสมการต่อไปนี้

$$\{v_{t+\Delta t/2}\} = \{v_{t-\Delta t/2}\} + \{a_t\} \Delta t_t \quad (4.5)$$

$$\{u_{t+\Delta t}\} = \{u_t\} + \{v_{t+\Delta t/2}\} \Delta t_{t+\Delta t/2} \quad (4.6)$$

เมื่อ

$$\Delta t_{t+\Delta t/2} = 0.5(\Delta t_t + \Delta t_{t+\Delta t})$$

$$\Delta t_{t-\Delta t/2} = 0.5(\Delta t_t - \Delta t_{t+\Delta t})$$

ความเสถียรของกระบวนการคำนวณขึ้นอยู่กับการแบ่งเวลาออกเป็นช่วงย่อยๆ ซึ่งเป็นไปตามความสัมพันธ์ต่อไปนี้

$$\Delta t = \frac{1}{c} \quad (4.7)$$

เมื่อ 1 คือความยาวของอเลิเมนต์ และ C คือความเร็วของ Wave propagation สามารถคำนวณได้จาก

$$c = \sqrt{\frac{E}{\rho}} \quad (4.8)$$

4.6 ขั้นตอนของการขันท้าย (Post-Processor)

การทดลองนี้จะมุ่งศึกษาการเสียรูปของแขนแอกทualetor ในกระบวนการการดีสเวจ ด้วยเบบีบวิธีไฟไนต์อเลิมентаโดยใช้ค่าแรงกรัมໂหลดเป็นตัววัดค่าการเสียรูปของแขนแอกทualetor แต่ผลที่ได้จากการวิเคราะห์ด้วยเบบีบวิธีไฟไนต์อเลิมентаไม่สามารถแสดงค่าแรงกรัมໂหลดที่เกิดขึ้นหลังจากผ่านกระบวนการการบลสเวจ และกระบวนการการดีสเวจได้โดยตรง ดังนั้นจึงต้องนำผลระยะการเสียรูปของแขนแอกทualetor ในแนวแกน Z มาคำนวณหาค่าแรงกรัมໂหลดขั้นตอนหนึ่ง